

الله الرحمن الرحيم

١٤٢٨هـ



طراحی و ساخت آنتن جدید مایکرواستریپ نواری برای باند ۲/۴

گیگاهرتز بلوتوث و ۵/۲ و ۵/۸ گیگاهرتز WLAN

مقصود رضواندوست

دانشکده فنی

گروه برق

پایان نامه برای دریافت درجه کارشناسی ارشد

اساتید راهنمای:

دکتر جواد نوری نیا

دکتر چنگیز قبادی

۱۳۸۸/۸/۲۰

۱۳۸۸

لایه زیر اطلاعات مذکون مسی بیان
تستیم مذکوک

پایان نامه عضو هیئت داوران به تاریخ ۲۴ مرداد ۱۳۸۸ شماره ۷۴۴-۲-۳ امور پذیرش هیات محترم

داوران با رتبه اول و نوبه ۱۸ اقرار گرفت.

علیه داد

۱- استاد راهنمای و رئیس هیئت داوران: دکتر نوری سی - دکتر جباری

۲- استاد مشاور

۳- داور خارجی: دکتر طوسی

۴- داور داخلی: دکتر کاظمی

۵- نماینده تحصیلات تکمیلی: دکتر نوری سی

تشکر

از زحمات و راهنماییهای اساتید راهنما، کلیه اساتیدم در دوره کارشناسی ارشد، کارمندان محترم دانشگاه ارومیه و مرکز آموزش‌های نیمه حضوری و تمامی دوستانم در طی این دوره سپاسگزارم. نویسنده مراتب تشکر و قدردانی خود را از مرکز تحقیقات مخابرات ایران به دلیل حمایت مالی پروژه و انجام تستهای پارامتری و همچنین استفاده از آزمایشگاه آتن آن مرکز به دلیل انجام تستهای میدانی و همچنین شرکت مخابرات استان آذربایجان غربی اعلام می‌دارد.

فهرست مطالب

۱.....	فصل ۱- آتن های مایکرو استریپ
۱.....	۱- مقدمه
۲.....	۱-۱ مشخصات اصلی
۳.....	۲-۱ روش های تغذیه
۵.....	۳-۱ روش های تحلیل
۵.....	۲-۱ پچ مستطیلی
۵.....	۱-۲ مدل خط انتقال
۹.....	۲-۲-۱ مدل محفظه
۱۲.....	۳-۱ ضریب کیفیت ، پهنه ای باند و راندمان
۱۵.....	فصل ۲- آتن های چند باندی
۱۵.....	۱- مقدمه
۱۶.....	۲-۲ طراحی آتن چند باندی
۱۷.....	۳-۲ معرفی چند نمونه از آتن های چند باندی
۱۷.....	۱-۳-۲ آتن منویل دو بازویی
۲۱.....	۲-۳-۲ آتن منویل سه بازویی
۲۴.....	۳-۳-۲ آتن های منویل چند باندی حلقوی
۲۷.....	۴-۳-۲ آتن بلوتوث

۲۸.....	۵-۳-۲ آنتن چند باندی مثالی شکل.....
۳۰.....	۶-۳-۲ آنتن سیمی
۳۲.....	۷-۳-۲ آنتن پهن باند
۳۴.....	۸-۳-۲ آنتن دوباندی برای لپ تاپ.....
۳۵.....	۹-۳-۲ آنتن گوشی تلفن همراه
۳۶.....	۱۰-۳-۲ آنتن دوباندی با المانهای پاراسیتیک برای کاربردهای WLAN
۳۸.....	۴-۲ خلاصه
۳۹.....	فصل ۳- طراحی و ساخت آنتن جدید مایکرواستریپ نواری برای باند ۲/۴ گیگاهرتز بلوتوث و WLAN و ۵/۸ گیگاهرتز
۴۰.....	۱-۳ مقدمه
۴۱.....	۲-۳ ثوری آنتن مورد نظر
۴۱.....	۳-۳ شبیه سازی آنتن
۵۲.....	۱-۳-۳ طرح های مقدماتی
۵۴.....	۲-۳-۳ بررسی اثر اسلات و محل آن در تطبیق امپدانس
۵۶.....	۳-۳-۳ بررسی اثر بازوی ۱
۵۸.....	۴-۳-۳ بررسی جریان سطحی آنتن
۵۹.....	۴-۳ ساخت آنتن
۵۹.....	۱-۴-۳ تست افت برگشتی آنتن
۶۱.....	۲-۴-۳ تست پترن آنتن
۶۱.....	۳-۴-۳ تست بهره آنتن

۷۴.....	۳-۵ نتیجه‌گیری و پیشنهاد برای ادامه کار
۷۵.....	مراجع.....

فهرست شکلها و جدولها

شکل ۱-۱: خط مایکرواستریپ و خطوط میدان الکتریکی مربوط به آن.....	۶
شکل ۱-۲: طول فیزیکی و موثر آنتن مایکرواستریپ مستطیلی.....	۸
شکل ۱-۳: راندمان و پهنهای باند آنتن پچ مستطیلی بر اساس ارتفاع زیرلایه در فرکانس رزونانس ثابت برای دو زیرلایه مختلف.....	۱۴
شکل ۱-۴: آنتن منوپل دو بازویی.....	۱۸
شکل ۱-۵: نمودار S11 آنتن دو بازویی.....	۱۹
شکل ۱-۶: پترن تشعشعی آنتن دو بازویی.....	۲۰
شکل ۱-۷: نمونه هایی از اشکال آنتهای نواری	۲۱
شکل ۱-۸: آنتن منوپل سه بازویی	۲۲
شکل ۱-۹: نمودار S11 آنتن سه بازویی	۲۲
شکل ۱-۱۰: پترن تشعشعی آنتن سه بازویی	۲۲
شکل ۱-۱۱: اثر ترویج	۲۵
شکل ۱-۱۲: آنتن WLAN	۲۶
شکل ۱-۱۳: نمودار S11 آنتن WLAN	۲۶
شکل ۱-۱۴: آنتن بلوتوث	۲۷
شکل ۱-۱۵: نتایج شبیه سازی و اندازه گیری افت برگشتی آنتن بلوتوث	۲۸
شکل ۱-۱۶: آنتن مثلثی شکل	۲۹
شکل ۱-۱۷: نتایج شبیه سازی و تست آنتن مثلثی.....	۲۹
شکل ۱-۱۸: آنتن سیمی.....	۳۰
شکل ۱-۱۹: تست افت برگشتی آنتن سیمی.....	۳۱
شکل ۱-۲۰: نتایج اندازه گیری پترن تشعشعی آنتن سیمی.....	۳۲

۱۸-۲: آنتن پهن باند.....	شکل ۲
۱۹-۲: نمودار S ₁₁ آنتن پهن باند.....	شکل ۲
۲۰-۲: آنتن دو باندی برای لپ تاپ.....	شکل ۲
۲۱-۲: افت برگشتی آنتن لپ تاپ	شکل ۲
۲۲-۲: آنتن پهن باند برای گوشی همراه.....	شکل ۲
۲۳-۲: افت برگشتی آنتن گوشی همراه.....	شکل ۲
۲۴-۲: آنتن دوباندی با المانهای پاراسیتیک برای کاربردهای WLAN.....	شکل ۲
۲۵-۲: نتایج افت برگشتی آنتن.....	شکل ۲
۲۶-۳: محل قرارگیری آنتهای میکرواستریپ در یک رایانه قابل حمل.....	شکل ۳
۲۷-۳: توزیع میدان در زیر لایه و هوا.....	شکل ۳
۲۸-۳: طرح اولیه یک آنتن PIFA	شکل ۳
۲۹-۳: نمودار افت برگشتی آنتن PIFA .	شکل ۳
۳۰-۳: یک آنتن PIFA با المانهای پاراسیتیک.....	شکل ۳
۳۱-۳: منحنی افت برگشتی آنتن PIFA با المانهای پاراسیتیک.....	شکل ۳
۳۲-۳: آنتن با تغذیه از انتهای	شکل ۳
۳۳-۳: نمودار افت برگشتی آنتن	شکل ۳
۳۴-۳: یک نمونه آنتن دی پل	شکل ۳
۳۵-۳: تنظیم ابعاد بازوها برای بدست آوردن فرکانس مورد نظر	شکل ۳
۳۶-۳: منحنی افت برگشتی آنتن بعد از تنظیم بازوها	شکل ۳
۳۷-۳: طراحی آنتن با استفاده از صفحه گراند تجهیزات	شکل ۳
۳۸-۳: منحنی افت برگشتی آنتن با گراند خارجی.....	شکل ۳
۳۹-۳: آنتن با زمین خارجی	شکل ۳
۴۰-۳: منحنی افت برگشتی آنتن دو باندی با زمین خارجی	شکل ۳

..... ۴۹	شکل ۳-۱۶: آتن با سه بازوی فرکانسی .
..... ۵۰	شکل ۳-۱۷: منحنی افت برگشتی آتن با سه بازوی فرکانسی ..
..... ۵۰	شکل ۳-۱۸: اثر بازو های ۱ و ۲ ..
..... ۵۱	شکل ۳-۱۹: منحنی افت برگشتی بازو های ۱ و ۲ ..
..... ۵۱	شکل ۳-۲۰: آتن با بازوی سوم ..
..... ۵۲	شکل ۳-۲۱: منحنی افت برگشتی بازوی ۳ ..
..... ۵۳	شکل ۳-۲۲: (الف) ابعاد کلی آتن (ب) تاثیر تغییرات محل اسلات در کلیه فرکانسها (ج) تاثیر محل اسلات در دو فرکانس بالایی ..
..... ۵۴	شکل ۳-۲۳: (الف) تغییر طول بازوی ۱ (ب) منحنی افت برگشتی در اثر تغییرات بازوی ۱ ..
..... ۵۵	شکل ۳-۲۴: ابعاد فیریکی آتن ..
..... ۵۶	شکل ۳-۲۵: منحنی افت برگشتی نهایی (الف) با $VSWR < 2$ (ب) با $VSWR > 3$..
..... ۵۷	شکل ۳-۲۶: جریان سطحی آتن در فرکانس $2/4$ گیگاهرتز ..
..... ۵۷	شکل ۳-۲۷: جریان سطحی آتن در فرکانس $5/2$ گیگاهرتز ..
..... ۵۷	شکل ۳-۲۸: جریان سطحی آتن در فرکانس $5/8$ گیگاهرتز ..
..... ۵۸	شکل ۳-۲۹: عکس نمونه ساخته شده و تست شده ..
..... ۵۹	شکل ۳-۳۰: مقایسه افت برگشتی شبیه سازی و اندازه گیری شده ..
..... ۶۰	شکل ۳-۳۱: نتایج اندازه گیری پترن آتن (الف) در فرکانس 2.4GHz (ب) در فرکانس 5.2GHz (ج) در فرکانس 5.8GHz ..
..... ۶۱	شکل ۳-۳۲: بهره آتن در فرکانس های مربوطه ..

چکیده- در این پایان نامه شکل جدیدی از آنتن پچ، با نام پچ نازک، جهت کاربردهای سیار معرفی شده است. با پیشرفت سیستمهای ارتباطی سیار، کاربرد آنتنهای با ابعاد کوچک اهمیت پیدا کرده و انواع مختلفی از آنها طراحی شده است. آنتن معرفی شده میتواند توسط یک کانکتور ۵۰ اهم و یا توسط کابل کواکسیال ۵۰ اهم تغذیه شده تا نصب آن در فضای محدود تجهیزات سیار میسر گردد. این آنتن در سه باند 2.4 GHz مربوط به Bluetooth و در دو باند 5.2 GHz و 5.8 GHz مربوط به WLAN کار می کند. با توجه به نسبت ابعاد آن که طول آن در مقایسه با عرض آن خیلی بیشتر بوده و این باعث می شود که آنتن پچ بجای تشعشع در یک سمت پچ به صورت Broadside عمل نماید. از ویژگیهای این آنتن نازک بودن و داشتن پترن همه جهته می باشد بطوری که ابعاد کلی آن 60×3 mm می باشد. این آنتن دارای سه بازوی موثر در سه باند مذکور بوده بطوری که در هر باند بازوی مربوط به آن فرکانس باعث ایجاد رزونانس می گردد.

فصل ۱

آنن‌های مایکرواستریپ

۱-۱ مقدمه

در این فصل بخش‌هایی از مباحث آتن‌های مایکرواستریپ که به موضوع آتن ارائه شده مربوط می‌شود به طور مختصر بحث خواهد شد. در هواپیماهای پیشرفته، فضایی‌ماهه، کاربردهای موشکی و ماهواره‌ها، جاییکه محدودیت‌هایی نظری اندازه، ابعاد، وزن، هزینه، کارایی، سهولت نصب و فرم آئرودینامیکی وجود دارد اغلب آتن‌هایی با فرم سبک و مسطح مورد نیاز است. در حال حاضر کاربردهای دولتی و تجاری بیشمار دیگری نیز نظری رادیو سیار، موبایل و مخابرات بی‌سیم وجود دارد که همگی خصوصیات مشابهی را در مورد آتن طلب می‌کنند. برای پاسخگویی به این نیازها آتن‌های مایکرواستریپ می‌تواند مورد استفاده قرار گیرد [۱۱-۱۱]. این نوع از آتن‌ها دارای فرم سبک، شکل‌پذیر بصورت سطوح صفحه‌ای و غیر صفحه‌ای، ساده و ارزان قیمت هستند که برای چاپ از تکنولوژی چاپ برد بهره می‌گیرند و پس از نصب روی سطوح سفت و محکم استحکام مکانیکی خوبی دارند. از دیگر ویژگیهای آتن‌های مایکرواستریپ، تطابق آنها با طراحی‌های مدارهای مجتمع مایکروویو^۱ است. در آتن‌های مایکرواستریپ، هنگامیکه شکل خاص پچ و مد فعالیت در آتن مورد نظر انتخاب شود، از نظر فرکанс رزونانس، پلاریزاسیون، پترن و امپدانس دارای تنوع می‌باشد. بعلاوه با اضافه کردن بار مایبن پچ و صفحه زمین، نظری پین یا دیود واراکتور، المانهایی تطبیق‌پذیر با فرکанс رزونانس، پلاریزاسیون، امپدانس و پترن متغیر می‌توان طراحی کرد [۱۴-۱۲]. عمدۀ معایب آتن‌های مایکرواستریپ راندمان پایین، توان کم، خلوص پلاریزاسیون ضعیف، قابلیت اسکن ضعیف، تشعشعات ناخواسته و غیر مطلوب مربوط به قسمت تغذیه آتن و پهنهای باند کم آنهاست. در برخی از کاربردها نظری

سیستمهای امنیت دولتی پهنهای باند کم مطلوب است. بهر حال متدهایی نیز، نظیر افزایش ارتفاع زیر لایه جهت افزایش راندمان آتن تا حدود ۹۰٪ و افزایش پهنهای باند تا حدود ۳۵٪ وجود دارد. در هر حال با افزایش ارتفاع زیرلایه امواج سطحی مطرح می‌شود که اغلب و معمولاً نامطلوب می‌باشد چرا که از شدت امواج فضایی آماده برای تشعشع مستقیم می‌کاهد. امواج سطحی در طول زیر لایه متشر شده و در ناپیوستگیها و خمیدگی‌ها این امواج دچار پراکندگی می‌شود [۱۵]-[۱۷] و مشخصات پترن و پلاریزاسیون آتن را دچار تنزل می‌نماید. امواج سطحی را ضمن حفظ پهنهای باند می‌توان با استفاده از محفظه‌ها از بین برد [۱۸] و [۱۹]. اباسته سازی المان‌های مایکرواستریپ نظیر سایر متدها می‌تواند جهت افزایش پهنهای باند بکار گرفته شود [۲۰]-[۲۲]. علاوه بر این، آتن‌های مایکرواستریپ از نظر فیزیکی برای بکارگیری در باند VHF و UHF بزرگ هستند و در آرایه‌های بزرگ تعاملی مابین پهنهای باند و حجم اسکن موجود است [۲۳].

۱-۱-۱ مشخصات اصلی

آتن‌های مایکرواستریپ از اوایل دهه ۱۹۷۰ بسیار مورد توجه قرار گرفت، اگرچه ایده این نوع آتن‌ها به سال ۱۹۵۳ باز می‌گردد [۲] و اولین نمونه در سال ۱۹۵۵ ثبت شده است [۳]. آتن‌های مایکرواستریپ، از یک نوار فلزی بسیار نازک (به ضخامت λ_0) که طول موج در فضای آزاد است) که در ارتفاع کسر کوچکی از طول موج در بالای صفحه زمین واقع شده است. آتن مایکرواستریپ به گونه‌ای طراحی شده است که حداقل تشعشع آن در راستای عمود بر صفحه آتن می‌باشد و به اصطلاح پترن آن پهلوآتش^۱ است. این امر با انتخاب صحیح مد عملکرد آتن، که بیانگر آرایش میدان در زیر پچ است، صورت می‌گیرد. با انتخاب مناسب مد میدان می‌توان شکل پترن تشعشع از انتهای^۲ نیز داشت. برای یک آتن پچ مستطیلی طول آتن در حدود $L < \frac{\lambda_0}{3}$ انتخاب می‌شود. پچ و صفحه زمین بوسیله یک لایه دی‌الکتریک تحت عنوان زیرلایه مطابق شکل الف. ۱-۱ از هم جدا شده است. برای طراحی آتن‌های مایکرواستریپ انواع مختلفی از زیرلایه وجود دارد که ضریب گذرهای آنها معمولاً در رنج $12 \leq E_r \leq 2/2$ متغیر است. اما معمولاً زیرلایه‌های با ضخامت بیشتر و با ضریب گذرهای پایین تر جهت کاربردهای آتنی مطلوب تر هستند چرا که موجب افزایش راندمان آتن، پهنهای باند بیشتر، تقدیم کمتر میدان‌ها و تشعشع بیشتر آن می‌شود اما در مقابل موجب افزایش ابعاد آتن می‌گردد [۲۴]. زیرلایه‌های نازکر با ضریب

^۱ Broadside
^۲ Endfire

گذردهی بالاتر برای مدارات مایکروویو مطلوب است زیرا در اینگونه مدارها نیازمند میدان‌های مقید بمنظور جلوگیری از تشعشعات ناخواسته و تزویج مابین اجزای مدار هستیم و استفاده از اینگونه زیرلایه‌ها منجر به کاهش ابعاد المان‌ها می‌شود اما بهر حال به دلیل تلفات بیشتر آنها کارایی کمتری داشته و نسبتاً پهنانی باند کمتری دارند. از آنجاییکه آتن‌های مایکرواستریپ اغلب بطور مجتمع در کنار سایر مدارات مایکروویو قرار دارند باید سازشی مابین کارایی خوب آتن و طراحی مدار صورت پذیرد. آتن‌های مایکرواستریپ اغلب بعنوان آتن‌های پچ شناخته می‌شوند. المانهای تشعشع کننده و خطوط تغذیه بر روی زیرلایه دی الکتریک چاپ می‌شود. پچ تشعشع کننده می‌تواند به شکل مریع، مستطیل، نوار نازک (دوقطبی)، دایره، بیضی، مثلث و یا هر شکل دیگری باشد.

مریع، مستطیل، نوار (دوقطبی) و دایره متداولترین اشکال هستند چرا که تحلیل و ساخت آنها راحت‌تر بوده و خصوصیات تابشی آنها نظیر سطح پایین پلاریزاسیون نامطلوب مورد توجه است. دوقطبی‌های مایکرواستریپ به دلیل پهنانی باند ذاتاً وسیعشان و حجم اشغالی کم آنها جهت بکارگیری در آرایه‌ها مورد توجه می‌باشد. پلاریزاسیون خطی و دایروی بوسیله المان واحد یا آرایه‌ای از المان‌های پچ قابل دستیابی است. آرایه‌ای از المان‌های مایکرواستریپ به همراه تغذیه واحد یا چندگانه جهت ارایه توانایی اسکن یا سمتگرایی بالا می‌تواند مورد استفاده قرار گیرد.

۱-۲-۱ روش‌های تغذیه

پیکربندی و روش‌های متعددی وجود دارد که برای تغذیه آتن‌های پچ می‌توان از آنها استفاده کرد اما چهار روشی که متداولتر می‌باشد عبارتست از خط مایکرواستریپ، کابل کواکسیال، تزویج صفحه ای^۱ و تزویج مجاورتی^۲. خط تغذیه مایکرواستریپ یک نوار هادی است که بسادگی قابلیت ساخت داشته و براحتی قابل تطبیق با مدار بوده و مدل کردن آن نیز نسبتاً راحت می‌باشد. با افزایش ارتفاع زیرلایه امواج سطحی زیاد شده و تشعشعات ناخواسته مربوط به قسمت تغذیه مدار نیز زیاد می‌شود که در موارد عملی پهنانی باند مدار را محدود می‌نماید (نوعاً ۲۵٪).

در تغذیه با کابل کواکسیال (پروب^۳) هادی داخلی کابل به پچ تشعشع کننده و هادی بیرونی به صفحه زمین متصل می‌شود. این نوع از تغذیه نیز بطور گسترده مورد استفاده قرار گرفته براحتی قابل ساخت و تطبیق است و تشعشع ناخواسته

^۱ Aperture coupling

^۲ Proximity coupling

^۳ Probe

کمی دارد. پهنهای باند حاصل از بکارگیری این روش تغذیه کم بوده و مدل کردن آن نیز جهت تحلیل دشوارتر است

بخصوص به ازای زیرلایه‌های ضخیم ($h > 0.02\lambda_0$).

هر دو متد تغذیه اشاره شده تا به اینجا بطور ذاتی تقارن مدار را برابر هم زده و مدهای مرتبه بالاتر را تحریک می‌نماید که موجب تشعشع با پلاریزاسیون غیر موافق می‌گردد. روش تزویج صفحه‌ای نشان داده شده در شکل سخت‌ترین متد از بین چهار متد ارایه شده از نظر ساخت بوده و پهنهای باند کمی دارد. از طرف دیگر مدل کردن آن آسانتر بوده و تشعشعات غیرمطلوب آن نیز متعادل است. تغذیه به روش تزویج صفحه‌ای متشكل است از دو زیرلایه که بوسیله صفحه زمین از هم جدا شده است. در سمت زیرین زیرلایه پایینی یک خط تغذیه مایکرواستریپ وجود دارد که انرژی آن از طریق یک شیار موجود در صفحه زمین به پیچ تزویج می‌شود. این آرایش امکان بهینه‌سازی مستقل المان تشعشعی و مکانیسم تغذیه را بطور مجزا فراهم می‌سازد. بطور معمول از یک ماده با ضربیت دیالکتریک بالا برای زیرلایه پایینی استفاده می‌شود و زیرلایه بالایی ضخیم و با ضربیت دیالکتریک کم انتخاب می‌شود. صفحه زمین مابین زیرلایه‌ها، خط تغذیه را از پیچ جدا کرده و تداخل تشعشعات غیرمطلوب را به حداقل می‌رسند. در این روش پارامترهای الکتریکی زیرلایه، عرض خط تغذیه و اندازه و محل شیار می‌تواند جهت بهینه کردن طراحی تنظیم شود [۲۴]. تطبیق نیز بوسیله تنظیم عرض خط تغذیه و طول شیار صورت می‌گیرد. تزویج از طریق شیار را می‌توان به کمک ثوری بث^۱ مدل کرد [۲۵]. این ثوری جهت آنالیز تزویج کننده‌های موجبری و تزویج از طریق حفره بکار گرفته شده است [۲۶]. در این ثوری شیار بوسیله یک دوقطبی الکتریکی نرمال جهت مدلسازی مولفه نرمال (روی شیار) میدان الکتریکی و یک دوقطبی مغناطیسی افقی جهت مدلسازی مولفه مماسی (روی شیار) میدان مغناطیسی برآورد می‌شود. اگر شیار در مرکز صفحه زیر پیچ قرار داشته باشد، جاییکه بطور ایده‌آل در مد غالب میدان الکتریکی صفر و میدان مغناطیسی حداقل است، تزویج مغناطیسی غالب خواهد بود. این امر همچنین موجب خلوص پلاریزاسیون شده و تشعشعات با پلاریزاسیون نامطلوب را در صفحات اصلی حذف می‌کند [۲۴]. از چهار متد ارایه شده در اینجا روش تزویج مجاورتی بیشترین پهنهای باند را داشته، براحتی قابل مدل کردن بوده و تشعشعات ناخواسته کمی دارد. از طرفی ساخت آن تا حدی دشوار می‌باشد. برای تطبیق می‌توان طول خط تغذیه و نسبت عرض به طول پیچ را کنترل نمود.

^۱ Bethe theory

۱-۳ روش‌های تحلیل

روشهای متعددی جهت تحلیل و آنالیز آتن های مایکرواستریپ موجود است. متداول ترین آنها روش خط انتقال [۲۷]، روش محفظه [۲۸-۲۷]، و روش تحلیل تمام موج (شامل معادلات انتگرالی اولیه/ممان متده) می‌باشد [۳۰-۲۹]. روش تحلیل خط انتقال آسانترین آنهاست که دید فیزیکی خوبی می‌دهد اما دقت کمتری داشته و مدل کردن تزویج بوسیله آن دشوار است. در مقایسه با روش خط انتقال، روش محفظه دقیق‌تر و در عین حال پیچیده‌تر است. این روش دید فیزیکی خوبی ارایه داده و مدل کردن تزویج با آن دشوار است در عین حال بطور موفقیت‌آمیز بکار گرفته شده است. در حالت کلی، در صورت استفاده بجا، روش‌های تحلیل تمام موج بسیار دقیق و متنوع بوده و قابلیت اعمال برای حالت تک المان، آرایه‌های محدود و نامحدود، المانهای روی هم قرار گرفته، المانهای با شکل دلخواه و تزویج را دارد. در عین حال آنها پیچیده‌ترین مدلها هستند و کمترین درک فیزیکی از آنها بدست می‌آید. در این متن تنها روش‌های خط انتقال و محفظه بحث می‌شود اما نتایج و منحنی‌های مربوط به روش‌های تمام موج نیز ارائه می‌شود. شکل متداول‌تر و کابردیتر از پیچ یعنی پیچ مستطیلی مورد توجه قرار گرفته است. البته برخی نتایج مربوط به سایر اشکال پیچ نیز گنجانده شده است.

۱-۲ پیچ مستطیلی

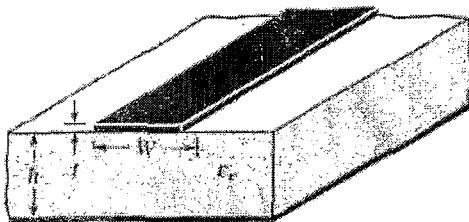
پیچ مستطیلی کاربردی‌ترین شکل از آتن پیچ است که بر احتی توسط هر دو روش خط انتقال و محفظه، که برای زیرلایه‌های نازک دقیق‌ترین روش‌ها می‌باشد، قابل تحلیل است. در اینجا با روش خط انتقال که نمایش آن آسانتر نیز می‌باشد آغاز می‌کنیم.

۱-۲-۱ مدل خط انتقال

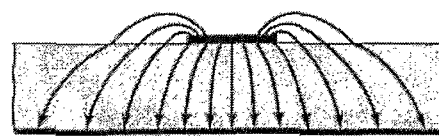
پیش از این بیان شده بود که مدل خط انتقال بین متدهای تحلیلی ارائه شده آسان ترین روش است در عین حال دقت آن به نسبت سایر روشها کمتر بوده و تنوع کمتری دارد. در عین حال این روش دید فیزیکی خوبی می‌دهد. همان گونه که در بخش ۱-۲-۱ نشان داده خواهد شد با استفاده از مدل خط انتقال یک آتن مایکرواستریپ مستطیلی به صورت آرایه‌ای از دو سطح (شیار) باریک تشعشع کننده، هر یک به عرض W و ارتفاع h و با فاصله L از یکدیگر، بیان می‌شود. اساساً مدل خط انتقال آتن مایکرواستریپ را بوسیله دو شیار که با یک خط انتقال با امپدانس پایین Z_c و طول L از هم جدا شده اند نشان می‌دهد.

الف. اثرات لبه ای

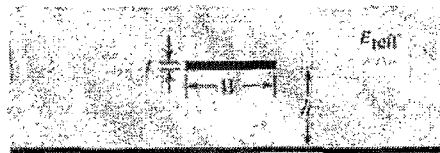
از آنجایی که ابعاد پچ از نظر طول و عرض محدود است میدان ها در لبه های پچ به حاشیه می روند. این مساله در شکل ب، الف. ۱-۱ برای المانهای تشعشع کننده آنتن مایکرواستریپ نشان داده شده است. مقدار این میدان های کناره ای تابعی از ابعاد پچ و ارتفاع زیر لایه است. در صفحه ای اصلی E_{xy} (صفحه xy) میدان کناره ای تابعی از نسبت طول پچ L به ارتفاع h زیر لایه (L/h) و ثابت دی الکتریک ϵ_r می باشد. از آنجایی که در آنتن های مایکرواستریپ $1 \ll L/h \ll 1$ ، میدان کناره ای کم است اما به هر حال اثرات بر روی فرکانس آنتن باید در نظر گرفته شود. این مساله در مورد هر دو بعد طول و عرض آنتن صادق است.



الف. خط مایکرواستریپ



ب. خطوط میدان الکتریکی



ج. ثابت دی الکتریکی موثر

شکل ۱-۱: خط مایکرواستریپ و خطوط میدان الکتریکی مربوط به آن.

برای خط مایکرواستریپ نشان داده شده در شکل الف. ۱-۱ خطوط میدان مربوط به آن در شکل ب. ۱-۱ نمایش داده شده است. این یک خط غیر متابوس از دی الکتریک هوا و زیر لایه می باشد. همانطور که دیده می شود بیشتر خطوط میدان الکتریکی در قسمت زیر لایه قرار گرفته و برخی از این خطوط به سمت هوا خارج می شود. به ازای $1 \ll W/h \ll 1$ و $1 \ll \epsilon_r \ll 1$ خطوط میدان الکتریکی غالبا در زیر لایه متمرکز می شود. میدان های کناره ای در این مورد سبب می شود که طول خط مایکرواستریپ از نظر الکتریکی بیشتر از طول فیزیکی آن باشد. از آنجایی که برخی از امواج در زیر لایه و برخی دیگر در هوا

متشر می شود جهت در نظر گرفتن انتشار موج و میدان های کناره ای پارامتر دیگری به عنوان ثابت دی الکتریک موثر

ϵ_{ref} معرفی می شود.

برای معرفی ثابت دی الکتریک موثر فرض می کنیم که هادی مرکزی خط مایکرواستریپ به همراه ابعاد و ارتفاع اصلی آن در بالای صفحه زمین مانند شکل ج.1-1 در یک دی الکتریک قرار دارد. ثابت دی الکتریک موثر در این حالت همان ثابت دی الکتریک ماده دی الکتریک یکنواخت است و خطوط شکل ج.1-1 خصوصیات الکتریکی مشابهی نظیر ثابت انتشار دارد. برای یک خط که هوا در بالای زیر لایه آن وجود دارد ثابت دی الکتریک موثر مقداری در رنج $\epsilon_r < \epsilon_{ref}$ داشت. برای بسیاری از کاربردها جایی که ثابت دی الکتریک زیر لایه بسیار بزرگتر از یک است مقدار ϵ_{ref} به مقدار ثابت دی الکتریک واقعی زیر لایه نزدیک است. ثابت دی الکتریک موثر تابعی از فرکанс است. با افزایش فرکанс کاری پیشتر خطوط میدان در زیر لایه مرکز می مانند. از این رو خط مایکرواستریپ بیشتر شبیه خطی همگن از یک دی الکتریک رفتار می کند و مقدار ثابت دی الکتریک موثر با مقدار ثابت دی الکتریک زیر لایه مساوی می شود. برای فرکانس های پایین ثابت دی الکتریک نسبی ضرورتا ثابت است. در فرکانسهای میانه مقدار آن به طور یکنواخت شروع به افزایش کرده و نهایتاً به مقدار ثابت دی الکتریک زیر لایه می رسد. به مقادیر اولیه ثابت دی الکتریک در فرکانسهای پایین مقادیر ساکن اطلاق می شود که بوسیله رابطه زیر بیان می شود.

W/h>1

که W عرض پچ و h ارتفاع زیر لایه می باشد

$$\epsilon_{ref} = \frac{\epsilon_{r+1}}{2} + \frac{\epsilon_{r-1}}{2} \left[1 + 12 \frac{h}{W} \right]^{-1/2} \quad (1-1)$$

ب. طول موثر، فرکانس رزونانسی و عرض موثر به دلیل اثرات کناره ای از نظر الکتریکی پچ در آتن مایکرواستریپ از نظر الکتریکی نسبت به ابعاد فیزیکی آن بزرگتر دیده می شود. در صفحه اصلی E (صفحه xy) این امر مشهود است. که طول پچ از هر دو سمت به اندازه ΔL گسترش یافته که خود تابعی از ϵ_{ref} و نسبت عرض به طول (W/h) می باشد. یک رابطه تقریبی کاربردی و متداول برای انبساط طولی نرمالیزه چنین است.

$$\frac{\Delta L}{h} = 0.412 \frac{(\epsilon_{ref} + 0.3)(\frac{W}{h} + 0.264)}{(\epsilon_{ref} - 0.258)(\frac{W}{h} + 0.8)} \quad (2-1)$$

از آنجایی که طول پچ از دو سمت به اندازه ΔL افزایش یافته طول حاضر پچ (به ازای $L = \lambda/2$ برای مدل غالب TM_{010}) بدون در نظر گرفتن میدان های کناره ای)

$$L_{eff} = L + 2\Delta L \quad (3-1)$$

برای مدل غالب TM_{010} فرکانس رزونانس آتن مايكرواستريپ تابعی از طول آن است.

$$(f_r)_{010} = \frac{1}{2L\sqrt{\epsilon_r}\sqrt{\mu_0\epsilon_0}} = \frac{v_0}{2L\sqrt{\epsilon_r}} \quad (4-1)$$

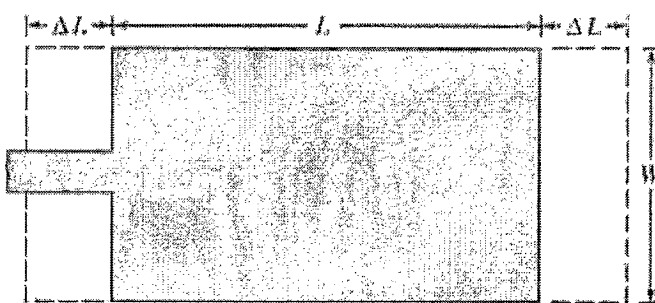
جایی که v_0 سرعت نور در فضای آزاد است. از آنجایی که (4-1) اثرات میدان کناره ای را در نظر نمی گیرد برای شامل شدن اثرات لبه ای این فرمول باید تغییر یابد.

$$(f_{rc})_{010} = \frac{1}{2L_{eff}\sqrt{\epsilon_{ref}}\sqrt{\mu_0\epsilon_0}} = \frac{1}{2(L+2\Delta L)\sqrt{\epsilon_{ref}}\sqrt{\mu_0\epsilon_0}} = q \frac{1}{2L\sqrt{\epsilon_r}\sqrt{\mu_0\epsilon_0}} = q \frac{v_0}{2L\sqrt{\epsilon_r}} \quad (5-1)$$

که

$$q = \frac{(f_{rc})_{010}}{(f_r)_{010}} \quad (5-1)$$

فاکتور q به عنوان فاکتور کناری (فاکتور کاهش طول) شناخته می شود. با افزایش ارتفاع زیرلایه میدانهای کناره ای افزایش یافته و منجر به فاصله بیشتر لبه های تشعشع کننده و فرکانس رزونانس پایین تر می شود.



الف. نمای بالایی



ب. نمای جانبی

شکل ۲-۱: طول فیزیکی و موثر آتن مايكرواستريپ مستطيلي.

ج. طراحی

مبنی بر فرمولهای ساده شده که تشریح شد یک پروسه طراحی که منجر به طراحی عملی آنتن مایکرواستریپ مستطیلی می شود، بیان می گردد. مفروضات این پروسه عبارت است از زیرلایه با ثابت دی الکتریک ϵ_r ،

فرکانس رزونانسی f_r و ارتفاع زیرلایه h پروسه طراحی به ترتیب زیر است:

مشخص کردن:

$$h, f_r \text{ (Hz)}, \epsilon_r$$

تعیین کردن:

$$L, W$$

روش طراحی:

۱- برای یک تشعشع کننده موثر عرض پیچ که منجر به راندمان تشعشعی خوبی شود مساوی است با

$$W = \frac{1}{2f_r\sqrt{\mu_0\epsilon_0}} \sqrt{\frac{2}{\epsilon_r+1}} = \frac{v_0}{2f_r} \sqrt{\frac{2}{\epsilon_r+1}} \quad (4-1)$$

که v_0 سرعت نور در فضای آزاد است.

۲- ثابت دی الکتریک موثر آنتن مایکرواستریپ با استفاده از (۴-۱) تعیین می شود.

۳- پس از تعیین W با استفاده از (۴-۱) به کمک فرمول (۲-۱) طول ΔL معین می گردد.

۴- طول عملی پیچ اینک با حل (۴-۵) برای L یا به ترتیب زیر مشخص می شود.

$$L = \frac{1}{2f_r\sqrt{\epsilon_{refl}}\sqrt{\mu_0\epsilon_0}} \quad (4-1)$$

۲-۲-۱ مدل محفظه

آنتن های مایکرواستریپ به عنوان محفظه های بار شده از دی الکتریک در نظر گرفته می شود و رزونانس های مرتبه بالاتر از خود نشان می دهد. میدان های نرمالیزه درون زیرلایه دی الکتریک (بین پیچ و صفحه زمین) با درنظر گرفتن آن ناحیه به عنوان محفظه ای که بوسیله هادی الکتریکی از بالا و پایین و دیواره های مغناطیسی (برای شبیه سازی مدار باز) در طول محیط آن محصور شده، با دقت بیشتری قابل محاسبه است. این یک مدل تقریبی است که به امپدانس ورودی را کنیو (مقاومت